

法政大学 正会員 ○ 牟田 親弘
 山門 明雄
 中島 国明

1. まえがき

本報告は、JIS A 1217 土の圧密試験のデーター処理における圧密降伏応力、 \bar{t} 法、曲線定規法について検討したものである。

2. 圧密降伏応力

JISでは、 $e-log p$ 曲線の曲率最大の点を求め、この点から水平線OCおよび曲線への接線ABを引く。この二つの直線のなす角の二等分線のと、 $e-log p$ 曲線の直線部分の延長との交点Eの横座標を p_{y0} とすると規定されている。ラグランジエの補間公式は、微分項を求めることが特徴的であると報告されているので、 $e-log p$ 曲線で $y = e$, $x = \log p$ としたとき、多項式近似(1)式と三次のスプライン関数近似(2)式について検討した。

$$y = A_1 x^7 + B_1 x^6 + C_1 x^5 + D_1 x^4 + E_1 x^3 + F_1 x^2 + G_1 x + H_1 \quad (1)$$

$$y = A_2 x^3 + B_2 x^2 + C_2 x + D_2 \quad (2)$$

(1)式については、良い結果を示すこともあるが、実験値によつては、波打つような $e-log p$ 曲線を描くことがある。(2)式の三次のスプライン関数による近似は、なめらかなる $e-log p$ 曲線が描けるようである。しかし、最大曲率の点は実験値(予測)と一致する。良好な(1)式の出力と、(2)式の出力とを重ねると、曲率最大附近はほとんど同じであり、目での判断は困難となるようである。また $e-log p$ 曲線を $y = f(x)$ で近似できるものとすれば、その曲率は(3)式のように表わせる。

$$K_1 = \frac{\frac{d^2 y}{dx^2}}{\left[1 + \left(\frac{dy}{dx} \right)^2 \right]^{\frac{3}{2}}} \quad (3)$$

$e-log p$ 曲線全体にわたって(3)式で曲率を計算することができる。 $e-log p$ 曲線のeのスケールを変化させても曲率最大の位置は変化しないこと意味している。

また、圧縮指數とは、 $e-log p$ 曲線または $f-log p$ 曲線に現われる直線部分の傾度であるが、実験値を結んだものか、関数近似したものか、たとえば(1)または(2)式につつて微分させたものが判然となる。

3. \bar{t} 法

圧密理論では、変形量 d と経過時間 t が、圧密初期の段階で直線關係がある。この直線の1.15倍の傾度を持つ直線と、 $d-\sqrt{t}$ 曲線の交点を平均圧密度90%とする因式解法である。

3.1 直線の検定 直線の検定は、図-1に示すようにn番目までの実験値(t と d)を用いて最小二乗法で直線式を求め、 $n+1$ 番目の実験値 d_{n+1} と、求めた直線式で計算した計算値 \bar{d}_{n+1} との差が1.5%以上あるとき、1番目からの各目まで直線關係があるものとした。この直線式を求めるには、2点では不確定なので少なくとも $n \geq 3$ とする必要がある。

3.2 t_{90} の算出 3.1で求めた直線の1.15倍の傾度を持つ一次式を(4)式に、 $d-\sqrt{t}$ 曲線を現わした曲線式(三次のスプライン関数近似したもの)を(5)式に示す。

$$d = A_3 \sqrt{t} + B_3 \quad (4)$$

$$d = A_4 t^3 + B_4 t^2 + C_4 t + D_4 \quad (5)$$

(4), (5)式から d を消去し、 \bar{t} をニュートン・ラフソン法で求める。求めたものが t_{90} である。ニュートン・ラフソン法の初期値として、交点に相当する曲線を一次式で近似した $d = A_5 \sqrt{t} + B_5$ と(4)式との連立一次

方程式を代入して解き、これを用いれば、短時間の演算で済むようである。

4. 曲線定規法

圧密理論では、平均圧密度を \bar{U} とすると次式のように表わされる。

$$U = 1 - \sum_{m=0}^{\infty} \frac{2}{M^2} \exp(-M^2 T_r) \quad (6)$$

$$\text{ここで } M = \pi/2 \cdot (2m+1)$$

U と T_r との関係をニュートン・ラフソン法で求めたのが、図-1である。平均圧密度 U と算術因数 n は、時間係数 T_r を対数因数に換えた曲線群と $d - \log t$ 曲線とを重ね合わせる方法が曲線定規法である。

4.1 t_{50} の算出 理論式の $t=\infty$ のときの沈下量を d_{100} 、 t 時間経過後の沈下量を d とするとき、 U 、 d 、 d_{100} の関係は、次式で表わせる。

$$U = d / d_{100} \quad (7)$$

(7)式を(6)式へ代入し、 d について整理すると。

$$d = d_{100} \left\{ 1 - \sum_{m=0}^{\infty} \frac{2}{M^2} \exp(-M^2 T_r) \right\} \quad (8)$$

実験では誤差が生じたため、初期補正するようになっている。初期補正値を d_0 とすると、実際の実験の沈下量は、(9)式のようになる。

$$d = d_0 + d_{100} \left\{ 1 - \sum_{m=0}^{\infty} \frac{2}{M^2} \exp(-M^2 T_r) \right\} \quad (9)$$

圧密係数 C_v 、経過時間と t 、 n 番目の荷重段階における供試体の平均高さを T_m とすると次式の関係がある。

$$t/T_r = (\frac{T_m}{2})^2 / C_v = K_2 \quad (10)$$

実験中、 T_m 、 C_v は一定としてあるので(10)式の t/T_r は一定となる。これで(9)式へ代入すると。

$$d = d_0 + d_{100} \left\{ 1 - \sum_{m=0}^{\infty} \frac{2}{M^2} \exp(-M^2 + K_2) \right\} \quad (11)$$

未知数は、 d_0 、 d_{100} 、 K_2 の3つであり、一次圧密理論の範囲で3ヶ所のデーターが必要であることを意味している。 d_0 、 d_{100} 、 K_2 を求めるため、シンプロレックス法を用いた。目的関数として、(11)式で計算した理論値 d_{th} と実験値 d_{ex} との差、すなわち $\frac{1}{n} \sum_{i=1}^n |d_{th} - d_{ex}|$ とした。第一近似値として、 t_{50} の算出で用いたニュートン・ラフソン法の第一近似値を用い、 d_0 、 d_{100} 、 K_2 の近似値と4回換用すればよい。 $t_{50}/0.848 = K_2$ である。収束した K_2 を用いて、 t_{50} を算出すればよい。すなわち $t_{50} = K_2 \times 0.197$ となる。

5. まとめ

(1) $e - \log p$ 曲線の曲率最大の点を求めるところは、かなり困難のようである。(1)、(2)式の微分項は、簡単な求めることができるので、前の委員会までの圧密降伏応力の求め方の方法はより簡単である。

(2) 併満は、図-1に示したように二次圧密量を含んでおりようである。

(3) 曲線定規法、併満と、圧密係数 C_v の値はほとんどであるが、併満の方が約5%小さな値をもすようである。また曲線定規法は、理論値のため、それが $e - \log p$ 曲線を描くことができる。

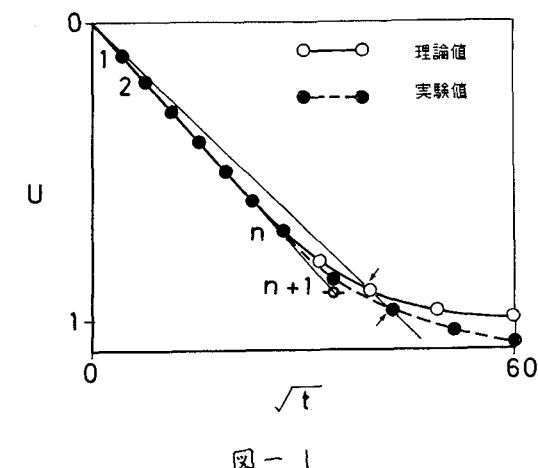


図-1

U	T _r						
0.01	0.00008	0.26	0.05309	0.51	0.20478	0.76	0.49327
0.02	0.00031	0.27	0.05726	0.52	0.21302	0.77	0.51052
0.03	0.00071	0.28	0.06158	0.53	0.22145	0.78	0.52854
0.04	0.00126	0.29	0.06605	0.54	0.23008	0.79	0.54739
0.05	0.00196	0.30	0.07069	0.55	0.23891	0.80	0.56716
0.06	0.00283	0.31	0.07548	0.56	0.24795	0.81	0.58795
0.07	0.00385	0.32	0.08042	0.57	0.25721	0.82	0.60986
0.08	0.00503	0.33	0.08553	0.58	0.26670	0.83	0.63303
0.09	0.00636	0.34	0.09079	0.59	0.27643	0.84	0.65760
0.10	0.00785	0.35	0.09621	0.60	0.28640	0.85	0.68376
0.11	0.00950	0.36	0.10179	0.61	0.29663	0.86	0.71172
0.12	0.01131	0.37	0.10752	0.62	0.30713	0.87	0.74175
0.13	0.01327	0.38	0.11341	0.63	0.31792	0.88	0.77419
0.14	0.01539	0.39	0.11946	0.64	0.32901	0.89	0.80946
0.15	0.01767	0.40	0.12576	0.65	0.34041	0.90	0.84809
0.16	0.02011	0.41	0.13204	0.66	0.35215	0.91	0.89079
0.17	0.02270	0.42	0.13857	0.67	0.36424	0.92	0.93852
0.18	0.02545	0.43	0.14526	0.68	0.37670	0.93	0.99264
0.19	0.02835	0.44	0.15211	0.69	0.38957	0.94	1.05512
0.20	0.03142	0.45	0.15912	0.70	0.40285	0.95	1.12901
0.21	0.03464	0.46	0.16633	0.71	0.41650	0.96	1.21944
0.22	0.03801	0.47	0.17365	0.72	0.43081	0.97	1.33604
0.23	0.04155	0.48	0.18117	0.73	0.44554	0.98	1.50037
0.24	0.04524	0.49	0.18886	0.74	0.46084	0.99	1.78129
0.25	0.04909	0.50	0.19673	0.75	0.47673	1.00	∞

表-1

表-1